

МЕХАНИЗМЫ ОКИСЛЕНИЯ И ВОССТАНОВЛЕНИЯ ПЛУТОНИЯ(III–VI) В РАСТВОРАХ С рН ВЫШЕ 1

© 2023 г. В. П. Шилов

Институт физической химии и электрохимии им. А.Н. Фрумкина РАН,
119071, Москва, Ленинский пр., д. 31, стр. 4
e-mail: ShilovV@ipc.rssi.ru

Поступила в редакцию 26.09.2022, после доработки 13.04.2023, принята к публикации 17.04.2023

Проанализированы опубликованные данные об устойчивости ^{239}Pu (VI, V, IV) в аэрированных растворах с $\text{pH} > 1$ вплоть до $\text{pH} 14$ при длительном хранении. Под действием продуктов α -радиолиза воды, в основном H_2O_2 , плутоний переходит на 80–85% в гидроксид $\text{Pu}(\text{IV})$. H_2O_2 частично окисляет $\text{Pu}(\text{IV})$, что приводит к стационарной концентрации $\text{Pu}(\text{V})$, а в растворе 0.1 моль/л NO_3^- – к стационарной концентрации $\text{Pu}(\text{VI})$. В дезаэрированных растворах 0.1 моль/л NaCl , содержащих 0.1–0.4 ммоль/л ^{242}Pu (VI), убыль $\text{Pu}(\text{VI})$ при $\text{pH} 3.48$ составляет 8%/сут вместо ожидаемого 0.1%/сут. Это связано с наличием примесей в растворе. Вероятно, примеси возникают в процессе очистки воды от солей. В растворах с $\text{pH} 7.30$ и 9.56 $\text{Pu}(\text{VI})$ устойчив, что противоречит другим публикациям. В растворах 1 ммоль/л ЭДТА (H_4Y) с $\text{pH} 5.99$ –9.55 $\text{Pu}(\text{VI})$ в комплексе с Y^{4+} переходит в $\text{Pu}(\text{V})$ за 6 сут. Возникающие фрагменты ЭДТА переводят $\text{Pu}(\text{V})$ в $\text{Pu}(\text{IV})$ полностью в растворе с $\text{pH} 5.99$ за 34 сут, с $\text{pH} 8.31$ – за 110 сут, с $\text{pH} 8.89$ – на 30 % за 110 сут, в растворе с $\text{pH} 9.55$ $\text{Pu}(\text{IV})$ не образуется. $\text{Pu}(\text{III})$ в растворе ЭДТА после индукционного периода в 110 сут окисляется до $\text{Pu}(\text{IV})$ ионами H^+ и водой полностью. Механизм окисления включает термическое возбуждение $\text{Pu}^{\text{III}}\text{Y}^{4+}\cdot m\text{H}_2\text{O}$, образование из возбужденного и невозбужденного иона $\text{Pu}^{\text{III}}\text{Y}^{4+}\cdot m\text{H}_2\text{O}$ димера, распад димера на H_2 , Y^{4+} и гидратированный PuO_2 .

Ключевые слова: плутоний(III, IV, V, VI), альфа-радиолиз, перхлорат-, хлорид-, нитрат-, ЭДТА- растворы, аэрированные и дезаэрированные растворы, окисление–восстановление.

DOI: 10.31857/S0033831123030073, EDN: ENWIKD

Плутоний (преимущественно ^{239}Pu) содержится в радиоактивных отходах, образующихся при переработке отработавшего ядерного топлива, в частности из тепловыделяющих элементов АЭС. Жидкие отходы (водные системы) хранятся в приповерхностных емкостях либо в глубоких геологических формациях. Как правило, это слабокислые растворы, в некоторых случаях растворы с pH , близким к нейтральному, или щелочные. В таких растворах плутоний может существовать в нескольких степенях окисления. Под действием альфа-частиц, излучаемых ^{239}Pu , происходит радиолиз воды [1]



Продукты радиолиза взаимодействуют с ионами плутония, изменяют их степени окисления. Эти процессы необходимо учитывать при долговременном хранении отходов. Кроме того, при авариях на

предприятиях атомной промышленности или АЭС происходит попадание плутония в окружающую среду, которая имеет pH , близкий к нейтральному.

В предлагаемой работе проанализированы некоторые опубликованные данные по поведению плутония при долговременном хранении в растворах разного состава, имеющих pH выше 1, в которых $\text{Pu}(\text{IV})$ существует в виде гидроксида.

Аэрированные растворы

Плутоний(VI, V, IV) в перхлоратных и хлоридных растворах

Поведение плутония (VI–IV) в растворах с pH выше 1 исследовано в нескольких работах. Например, устойчивость $\text{Pu}(\text{VI})$, (V) и коллоидного $\text{Pu}(\text{IV})$ в течение 600 сут изучена в аэрированных системах

Таблица 1. Условия экспериментов и результаты [2]

I , моль/л	pH начальный	pH конечный	[Pu], ммоль/л	Время, сут	N начальная	N конечная	$k \times 10^2$, сут $^{-1}$
0.75	1.5	1.3	9.7	396	6.00	4.27	-1.84
1.0	1.7	1.1	30.2	339	5.97	4.29	-2.00
0.75	1.5	1.3	10.7	396	5.81	4.28	-1.70
0.01	2.2		0.44	244	6.00	5.02	-1.42
0.02	2.0	1.8	1.7	444	5.61	5.01	-0.52
1.0	2.0	1.1	10	600	5.00	4.15	-1.3
1.0	5.2	1.3	10	600	5.00	4.20	-1.1
0.9	1.9	1.6	28.2	354	5.03	4.38	-0.9
1.9	1.9	1.2	30.4	618	5.00	4.10	-0.71
1.0	1.9	1.2	34	358	5.00	4.16	-1.45
0.09	1.7	1.0	18	259	4.96	5.39	+0.325
0.01	2.9		0.064	191	4.00	4.09	+0.11
1.0	1.3	1.6	5.0	396	4.00	4.17	+0.17
0.01	1.3		5.9	291	4.00	4.41	+0.2
1.0	1.5		13.7	393	4.00	4.06	+0.11

с pH 1.3–5.2 [2]. В растворах ионную силу $I = 1.0$ и 0.1 моль/л поддерживали с помощью LiClO_4 и NaCl соответственно. В опытах определяли среднее состояние окисления N , найденное по соотношению

$$N = (3[\text{Pu(III)}] + 4[\text{Pu(IV)}] + 5[\text{Pu(V)}] + 6[\text{Pu(VI)}]) / \Sigma [\text{Pu}]. \quad (2)$$

Опыты показали, что Pu(VI) (10–30 ммоль/л) в течение 100 сут убывает по закону скорости нулевого порядка до N примерно 4.5, затем скорость снижается. В диапазоне 180–600 сут N остается на уровне 4.3, т.е. сохраняется смесь Pu(V) и Pu(IV) . Скорость восстановления Pu(VI) передается выражением

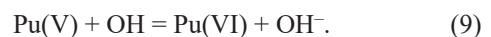
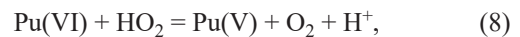
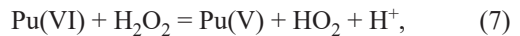
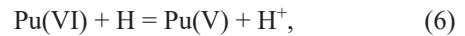
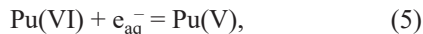
$$-\frac{dN}{dt} = -\frac{d[\text{Pu(VI)}]}{dt} = k'[\text{Pu(VI)}]^0 = k. \quad (3)$$

В табл. 1 приведены условия некоторых опытов и результаты.

Из данных, представленных в табл. 1, следует, что начальная скорость убыли Pu(VI) составляет (среднее из 3 опытов) $-1.84\% \cdot \text{сут}^{-1}$. Выход восстановления Pu(VI)

$$G[-\text{Pu(VI)}] = k \cdot 100T_{1/2}/(0.693E_a), \quad (4)$$

где $T_{1/2}$ – период полураспада ^{239}Pu , равный 2.411×10^4 лет, E_a – энергия альфа-частиц, равная 5.15 МэВ [3]. Поэтому $G[-\text{Pu(VI)}] = 4.54$ ион/100 эВ, или 0.470 мкмоль/Дж. Pu(VI) исчезает в реакциях



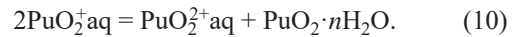
Выходы продуктов а-радиолиза воды ($E_a = 5.3$ МэВ [1]):

Частица	$e_{aq}^- + H$	OH	H_2O_2	HO_2	H_2
G , мкмоль/Дж	0.057	0.036	0.135	0.021	0.145

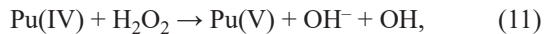
Отсюда $G[-\text{Pu(VI)}] = G(e_{aq}^- + H) + 2G(H_2O_2) + G(HO_2) - G(OH) = 0.312$ мкмоль/Дж. Более высокий выход восстановления Pu(VI) вызван тем, что Pu(VI) взаимодействует в «шпорах» и треках с предшественниками H_2 .

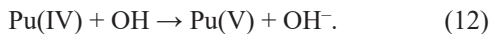
В растворе 0.01 моль/л NaCl восстановление закончилось на Pu(V) , возможно из-за более короткой экспозиции (244 сут).

Pu(V) (10–34 ммоль/л) убывает по закону скорости, близкому ко второму порядку. Авторы работы [2] считают, что протекает реакция диспропорционирования



H_2O_2 восстанавливает Pu(VI) . Однако диспропорционирование не изменяет среднюю степень окисления N . Следует отметить, что кроме реакций (9) и (10) протекают реакции

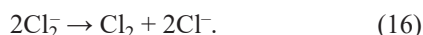
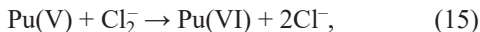




Они препятствуют полной трансформации Pu(V) в Pu(IV).

Окисление An(IV) – одноэлектронный процесс (образование An(V) и OH). Это подтверждается появлением фенола при окислении U(IV) пероксидом водорода в растворе, насыщенном бензолом [4].

Начальная скорость восстановления Pu(V) немного ниже, чем в случае Pu(VI), и колеблется в пределах 0.7–1.45%/сут. При высокой концентрации Pu(V) реагирует в «шпорах» с предшественниками H₂, но эффективность этих реакций ниже из-за меньшего заряда по сравнению с PuO₂²⁺. Начальный выход $G[-\text{Pu(V)}]$ составляет 1.73–3.58 ион/100, или 0.179–0.371 мкмоль/Дж. В растворе 0.09 моль/л NaCl наблюдается медленное окисление Pu(V). Ионы Cl⁻ акцептируют радикалы OH из «шпор» и снижают выход H₂O₂:



Cl₂ трансформируется в гипохлорит, который окисляет ионы плутония.

В растворе 1 моль/л LiClO₄, содержащем предварительно приготовленный колloid Pu(IV), со временем наблюдается незначительный рост средней степени окисления N . Скорость окисления увеличивается в растворах NaCl.

Под действием α -излучения гидроксид Pu(IV) окисляется в нейтральном растворе до Pu(V) [5]. Переход плутония в раствор в виде Pu(V) при хранении Pu(IV) в растворах 1–15 моль/л NaOH отмечен в работе [6]. Медленное накопление Pu(V) происходит при добавлении H₂O₂ к суспензии Pu(OH)₄ в щелочных средах [7].

Плутоний(VI, V, IV) в нитратных растворах

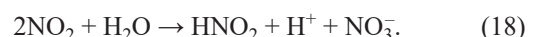
Восстановление 7.6 ммоль/л ²³⁹Pu(VI) в растворах 0.1 и 5 моль/л NaNO₃ (рН 3) исследовано в работе [8]. В растворе 0.1 моль/л NaNO₃ скорость восстановления остается постоянной в течение примерно 40 сут, далее замедляется. В начальный период восстановления образуется Pu(V), через

20 сут появляется Pu(IV). Скорость накопления Pu(V) уменьшается, концентрация Pu(V) проходит через максимум на пятидесятый день. После 60 сут остается 1.3 моль/л Pu(VI), и эта величина не меняется на протяжении последующих 50 сут. Средняя степень окисления N остается постоянной после 70 сут.

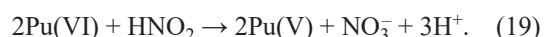
В растворе 5 моль/л NaNO₃ скорость убыли Pu(VI) в начальный период постоянна (нулевой порядок) около 10 сут, далее уменьшается. Pu(V) появляется с самого начала, Pu(IV) – на 14-й день. Концентрация Pu(V) проходит через максимум через 20 сут. Через 90 сут весь Pu(VI) переходит в Pu(IV).

При увеличении концентрации NO₃⁻ от 0.1 до 5 моль/л выход восстановления изменяется от 4.2 до 7.2 ион/100 эВ, или от 0.435 до 0.746 мкмоль/Дж.

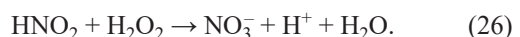
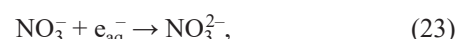
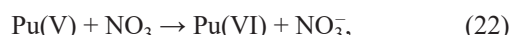
Авторы работы [8] считают, что в растворах нитрата идут реакции



HNO₂ и H₂O₂ восстанавливают Pu(VI) – реакции (19) и (7):



Однако не следует забывать, что в «шпорах» и объеме раствора протекают реакции



В растворе 0.1 моль/л NO₃⁻ пероксид водорода окисляет Pu(IV), радикал OH окисляет Pu(V). В растворе 5 моль/л NO₃⁻ образуется нитратный комплекс Pu(IV), который не реагирует с H₂O₂.

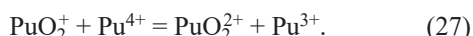
Выводы по реакциям в аэрированных растворах

Анализ некоторых публикаций показал, что в растворах с pH выше 1 вплоть до pH 14 ²³⁹Pu в сте-

Таблица 2. Накопление Pu(V), % за определенное время, в растворах 0.1 моль/л NaCl [9]

рН	Pu(V), %, за время, сут				
	6	34	110	237	616
3.48	52	60	79	95	98
5.75	90	70	78	92	85
7.30	0	25	0	25	0
9.56	0	0	0	0	0

пени окисления VI, V, IV при длительном хранении под действием продуктов α -радиолиза воды, в основном H_2O_2 , переходит на 80–85 % в гидроксид Pu(IV), который трансформируется в коллоид и не может участвовать в реакции



H_2O_2 частично окисляет Pu(IV), что приводит к возникновению стационарной концентрации Pu(VI) в растворе 0.1 моль/л NO_3^- .

Дезаэрированные растворы

Хранение радиоактивных отходов в глубоких геологических формациях предполагает отсутствие O_2 в растворах. Поэтому в работе [9] исследовано поведение $(1-4) \times 10^{-4}$ моль/л Pu(III, V, VI) в дезаэрированных растворах 1 ммоль/л ЭДТА (рН 6–9.6) и растворах 0.1 моль/л NaCl без ЭДТА (рН 3.5–9.6) в течение 616 сут. Был использован ^{242}Pu , чтобы снизить роль продуктов альфа-радиолиза воды. Запасной раствор ^{242}Pu имел состав 99.962% ^{242}Pu , 0.022% ^{240}Pu , <0.01% ^{238}Pu , ^{239}Pu . Основное внимание уделялось удалению следов O_2 при хранении растворов и отборе проб для анализа.

Плутоний(VI) и (V) в растворе 0.1 моль/л NaCl

В табл. 2 представлены условия и результаты опытов по изучению устойчивости Pu(VI) в растворе 0.1 моль/л NaCl.

Из приведенных в табл. 2 данных следует, что в растворе с рН 3.48 за 6 сут накопилось 52% Pu(V), т.е. убыло 48% Pu(VI), или 8%/сут. Выше было показано, что ^{239}Pu (10–30 ммоль/л) убывает на 1.84%/сут, а при концентрации 0.044 ммоль/л – на 1.42%/сут. Период полураспада ^{242}Pu $T_{1/2} = 37.5 \times 10^4$ лет, $E_\alpha = 4.9$ МэВ [3]. С учетом $T_{1/2}$ и E_α ^{239}Pu в случае ^{242}Pu концентрация Pu(VI) должна

Таблица 3. Накопление Pu(IV), % за определенное время, в растворе 1 ммоль/л ЭДТА [9]

рН	Накопление Pu(IV), %, за время, сут				
	6	34	110	237	616
5.99	52	100	100	100	100
8.31	25	47	100	100	100
8.89	10	15	30		
9.55	2				

уменьшаться на 0.1%/сут. За 6 сут могло накопиться 0.6% Pu(V). Авторы работы [9] не объясняют высокую скорость восстановления Pu(VI). Возникает предположение, что при рН 3.48 происходит восстановление Pu(VI) примесями, содержащимися в воде. Опыты были выполнены с водой Milli-Q. Вероятно, от солей вода была очищена с помощью ионообменных мембран. При этом в воду попали органические молекулы, которые не влияли на электропроводность воды, но реагировали с Pu(VI).

После 600 сут в растворе 0.1 моль/л NaCl с рН 3.48 убыло до 100% Pu(VI), но Pu(IV) не появился, т.е. H_2O_2 , который мог бы восстановить Pu(V), был израсходован на реакции с примесями. Но возможно, при низкой концентрации Pu(V) диспропорционирование не имеет места, а прямое взаимодействие Pu(V) с H_2O_2 весьма медленное.

В растворе с рН 5.75 за 6 сут накопилось около 90% Pu(V). В последующие дни доля Pu(V) сохранялась на уровне 85%, доля Pu(VI) осталась на уровне 15%.

В растворах с рН 7.30 и 9.56 за 616 сут концентрация Pu(VI) не изменилась, что выглядит довольно странно. В работе [10] показано, что в растворе 0.5 моль/л NaCl для ^{239}Pu убыль концентрации мало зависит от рН:

рН	2.50	2.80	7.0–7.1
Убыль, %/сут	1.5	1.4	1.7

По-видимому, в растворах с рН 7.3 и 9.56, использованных в работе [9], примеси не реагируют с Pu(VI), но взаимодействуют с H_2O_2 – продуктом радиолиза воды.

Pu(VI) в растворе 1 ммоль/л ЭДТА

В табл. 3 представлены условия и результаты опытов по изучению устойчивости Pu(VI) в растворе 1 ммоль/л ЭДТА. В условиях опытов Pu(VI) свя-

Таблица 4. Накопление Pu(IV), % за определенное время, в растворах 1 ммоль/л ЭДТА [9]

рН	Накопление Pu(IV), %, за время, сут				
	6	34	110	237	616
4.06	8	10	13	100	100
6.01	11	10	20	100	100
7.85	6	3	3	100	100

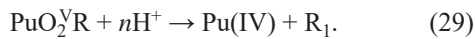
зан в комплекс с ЭДТА и быстро восстанавливается до Pu(V), поэтому в табл. 3 дается доля накопленного Pu(IV).

Из данных, приведенных в табл. 3, следует, что в растворе с pH 5.99 через 6 сут было 48% Pu(V)-ЭДТА и 52% Pu(IV)-ЭДТА. В течение последующих 28 сут оставшейся Pu(V) превратился в Pu(IV). С ростом pH доля возникшего через 6 сут Pu(IV) снижается, при pH 9.56 плутоний(IV) не появляется и после 616 сут. Авторы [9] предлагают следующий механизм восстановления Pu(VI). Сначала образуется комплекс $\text{PuO}_2^{\text{VI}}\text{ЭДТА}^{2-}$. Этот комплекс взаимодействует с ионом ЭДТА. В результате возникает комплекс $\text{PuO}_2^{\text{V}}\text{ЭДТА}^{3-}$. При контакте последнего с ионом ЭДТА появляется Pu(IV).

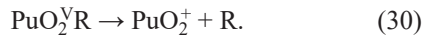
Более вероятно, Pu(VI) образует с Y^{4-} (анионом ЭДТА) комплекс $\text{PuO}_2\text{Y}^{2-}$, в котором происходит перенос заряда



Часть соединений $\text{PuO}_2^{\text{V}}\text{R}$ подвергается трансформации: радикал R восстанавливает Pu(V):



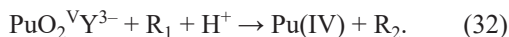
Другая часть соединений $\text{PuO}_2^{\text{V}}\text{R}$ распадается:



Радикал R с высокой скоростью реагирует с $\text{PuO}_2\text{Y}^{2-}$:



R_1 , будучи фрагментом аниона ЭДТА, медленно восстанавливает Pu(V):



С ростом pH снижается концентрация ионов H^+ , реакции (29) и (32) прекращаются.

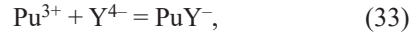
Плутоний(III) в растворе 1 моль/л ЭДТА

В табл. 4 приведены результаты опытов по окислению Pu(III) в растворах 1 моль/л ЭДТА.

Из данных, представленных в табл. 4, следует, что во всех растворах наблюдается медленное окисление Pu(III): за 110 сут – не более 15%. Затем происходит резкое ускорение – за 127 сут окислено более 85%, скорость выросла как минимум в 6 раз.

Авторы работы [9] считают, что окислителем являются продукты радиолиза воды. Однако продукты радиолиза воды могли бы окислить $0.1 \times 127 = 12.7\%$ Pu(III).

Авторы работы [9] принимают, что Pu(III) и Pu(IV) связаны с ЭДТА, т.е. с Y^{4-} . Для реакций образования комплексов



константы образования β следующие: $\lg\beta_{\text{III}} = 16.1$ и $\lg\beta_{\text{IV}} = 26.4$ [3]. Потенциал пары Pu(IV)/(III) в растворе ЭДТА имеет следующий вид:

$$E = E^f + 0.059\lg([\text{Pu}^{\text{IV}}\text{Y}] \beta_{\text{III}} [\text{Pu}^{\text{III}}\text{Y}^-]^{-1} \beta_{\text{IV}}^{-1}), \quad (35)$$

E^f – формальный потенциал пары Pu(IV)/(III), равный 0.982 В [3]. Поэтому при $[\text{Pu}(\text{IV})] = [\text{Pu}(\text{III})]$ потенциал этой пары $E = 0.982 + 0.059(16.1 - 26.4) = 0.374$ В. Можно предположить, что 85% Pu(III) окислены следами кислорода. Потенциал пары $\text{O}_2(\text{г})/\text{H}_2\text{O}$ составляет

$$E = E^0 - 0.059\text{pH}, \quad (36)$$

E^0 – стандартный потенциал, равный 1.229 В [11]. В растворе с pH 6 потенциал кислорода снижается до 0.875 В, и разница потенциалов кислорода и пары Pu(IV)/(III) $\Delta E = 0.875 - 0.374 = 0.501$ В. Известно [12], что в сернокислом растворе Pu(III) окисляется кислородом до Pu(IV). Формальный потенциал пары Pu(IV)/(III) в растворе 1 моль/л H_2SO_4 равен 0.75 В [10], разница потенциалов кислорода и пары Pu(IV)/(III) $\Delta E = 1.229 - 0.75 = 0.479$ В. Кинетика реакции Pu(III) + O_2 описывается уравнением

$$-\frac{d[\text{Pu}(\text{III})]}{dt} = k[\text{Pu}(\text{III})]^2 P(\text{O}_2), \quad (37)$$

где $P(\text{O}_2)$ – давление кислорода, атм, k – константа скорости. Pu(III) с ионами SO_4^{2-} образует комплексы PuSO_4^+ и $\text{Pu}(\text{SO}_4)_2^-$. Найдено: $k = k_{11}f_1 + k_{12}f_2$, k_{11}

и k_{12} – константы скорости O_2 с первым и вторым комплексом, f_1 и f_2 – доля первого и второго комплекса, $k_{11} = 3.33$ и $k_{12} = 21.2 \text{ л}\cdot\text{моль}^{-1}\cdot\text{атм}^{-1}\cdot\text{мин}^{-1}$ при 25°C .

Если предположить, что PuY^- окисляется так же, как $\text{Pu}(\text{SO}_4)_2^-$, с константой скорости k_{12} , то в растворе 1×10^{-4} моль/л $\text{Pu}(\text{III})$ с $\text{pH} 6$ и содержанием в газовой фазе менее 1 ppm O_2 , или $P(O_{21}) < 10^{-6}$ атм, скорость окисления $\text{Pu}(\text{III})$

$$\begin{aligned}-d[\text{Pu}(\text{III})]/dt &= 21.2 \times (1 \times 10^{-4})^2 \times 10^{-6} = \\ &= 2.12 \times 10^{-13} \text{ моль}/(\text{л}\cdot\text{мин}).\end{aligned}$$

За 127 сут окислится $2.12 \times 10^{-13} \times 127 \times 24 \times 60 = 3.88 \times 10^{-8}$ моль/л, или 0.039% $\text{Pu}(\text{III})$.

Авторы работы [9] на рис. 5 приводят литературные данные по растворимости PuY и $\text{PuO}_2(\text{am}, \text{hyd})$ в зависимости от pH . Наиболее низкая кривая, т.е. минимальная концентрация растворенного плутония, наблюдается в случае $\text{PuO}_2(\text{am})$. Поэтому потенциал пары $\text{PuO}_2(\text{am}, \text{hyd})/\text{PuY}^-$ ниже потенциала пары PuY/PuY^- , что может привести к увеличению ΔE и скорости окисления $\text{Pu}(\text{III})$. Но сомнительно, чтобы окисление ускорилось во много раз.

Ионы с потенциалом более отрицательным, чем потенциал пары H^+/H_2 , окисляются ионом H^+ или водой. К таким ионам относится $\text{U}(\text{III})$. Окисление $\text{U}(\text{III})$ в растворах HCl и $\text{HCl} + \text{LiCl}$ исследовано в работах [13, 14]. В этих растворах протекает реакция



Потенциал пары H^+/H_2 – это, по существу, потенциал водородного электрода, величина которого ϕ передается уравнением (39) [15] ($t = 25^\circ\text{C}$):

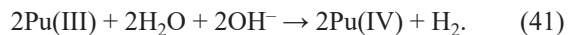
$$\phi = 0.059 \lg [\text{H}^+]/(P(\text{H}_2))^{1/2}, \quad (39)$$

где $P(\text{H}_2)$ – давление водорода, атм.

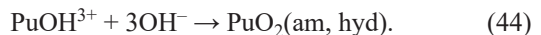
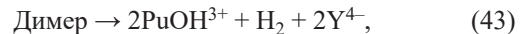
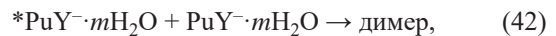
Из уравнения (39) следует, что с уменьшением $[\text{H}^+]$ (ростом pH) потенциал снижается, с уменьшением $P(\text{H}_2)$ – увеличивается. Так как в изученных системах давление водорода было близко к нулю, то потенциал пары H^+/H_2 достигал значения потенциала пары $\text{Pu}(\text{IV})/(\text{III})$, и протекала реакция



В нейтральных растворах эта реакция замещалась другой:



В работе [16] предполагается, что окисление ионов водой протекает через образование димеров (эксимеров). Окисление $\text{Pu}(\text{III})$ водой может быть представлено следующими реакциями. В растворах и газах распределение частиц по скоростям или энергиям описывается уравнениями Максвелла–Больцмана, из которых следует, что некоторая доля частиц обладает энергией, превышающей среднюю. Такие частицы можно назвать термически возбужденными. Термически возбужденный ион $^*\text{PuY}^- \cdot m\text{H}_2\text{O}$ образует с невозбужденным ионом $\text{PuY}^- \cdot m\text{H}_2\text{O}$ димер, который распадается на 2 аморфных гидратированных соединения $\text{Pu}(\text{IV})$, Y^{4-} и H_2 :



Следует отметить, что окисление $\text{Pu}(\text{III})$ протекает с продолжительным индукционным периодом. Можно предположить, что связано это с наличием примесей в растворах.

Выходы по реакциям в дезаэрированных растворах

В дезаэрированных растворах 0.1 моль/л NaCl , содержащих 0.1–0.4 ммоль/л $^{242}\text{Pu}(\text{VI})$, убыль $\text{Pu}(\text{VI})$ при $\text{pH} 3.48$ составляет 8%/сут вместо ожидаемого 0.1%/сут. Это связано с наличием примесей в растворе. Наиболее вероятно, примеси попадают в процессе очистки воды от солей. В растворах с $\text{pH} 7.30$ и 9.56 плутоний(VI) устойчив. Примеси не реагируют с ним, но взаимодействуют с H_2O_2 – продуктом радиолиза воды.

В растворах 1 ммоль/л ЭДТА с $\text{pH} 5.99$ –9.55 $\text{Pu}(\text{VI})$ образует комплекс с Y^{4-} , в котором восстанавливается до $\text{Pu}(\text{V})$ за 6 сут. Возникающие в этой реакции фрагменты ЭДТА переводят $\text{Pu}(\text{V})$ в $\text{Pu}(\text{IV})$ полностью в растворе с $\text{pH} 5.99$ за 34 сут, с $\text{pH} 8.31$ за 110 сут, с $\text{pH} 8.89$ на 30% за 110 сут, а в растворе с $\text{pH} 9.55$ $\text{Pu}(\text{IV})$ не образуется, так как для восстановления необходимы ионы H^+ .

$\text{Pu}(\text{III})$ после индукционного периода в течение 110 сут окисляется до $\text{Pu}(\text{IV})$ ионами H^+ и водой полностью за 127 сут. Механизм окисления включ-

чает термическое возбуждение $\text{Pu}^{\text{III}}\text{Y}^{\text{-}}\cdot m\text{H}_2\text{O}$, образование из возбужденного и невозбужденного иона $\text{Pu}^{\text{III}}\text{Y}^{\text{-}}\cdot m\text{H}_2\text{O}$ димера, распад димера на H_2 , Y^{4+} и гидратированный PuO_2 .

БЛАГОДАРНОСТИ

Автор благодарен д.х.н А.А. Бессонову за помощь в работе и д.х.н. Г.В. Сидоренко за полезные советы.

КОНФЛИКТ ИНТЕРЕСОВ

Авторы заявляют об отсутствии конфликта интересов.

СПИСОК ЛИТЕРАТУРЫ

1. Пикаев А.К., Шилов В.П., Гоголев А.В. // Успехи химии. 1997. Т. 66, № 9. С. 845.
2. Newton T.W., Hobart D.E., Palmer P.D. // Radiochim. Acta. 1986. Vol. 39, N 3. P. 139.
3. Clark D.L., Hecker S.S., Jarvinen G.D., Neu M.P. Plutonium // The Chemistry of the Actinide and Transactinide Elements / Eds. L.R. Morss, N.M. Edelstein, J. Fuger, J.J. Katz. Dordrecht: Springer, 2006. Vol. 2. P. 813–1264.
4. Bhattacharyya P.K., Saini R.D. // Radiat. Phys. Chem. 1979. Vol. 13, N 1/2. P. 57–63.
5. Bondietti E.A., Trabalka J.R., Delegard C.H. // Radiochem. Radioanal. Lett. 1980. Vol. 42, № 3. P. 169–176.
6. Delegard C.H. // Radiochim. Acta. 1987. Vol. 41, N 1. P. 11–21.
7. Шилов В.П., Астафурова Л.Н., Гарнов А.Ю., Кром Н.Н. // Радиохимия. 1996. Т. 38, № 3. С. 231–233.
8. Артюхин П.И., Медведовский В.И., Гельман А.Д. // Радиохимия. 1959. Т. 1, № 2. С. 131.
9. DiBlasi N.A., Yalcintas E., Stanley F.E., Reed D.T., Hixon A.E. // Chemosphere. 2021. Vol. 274. Article 129741.
10. Конник Р. // Актиниды. Под ред. Г. Сиборга и Дж. Каца. М.: ИИЛ, 1955. С. 188–252.
11. Bratsch S.G. // J. Phys. Chem. Ref. Data. 1989. Vol. 18, N 1. P. 1–21.
12. Newton T.W., Baker F.R. // J. Phys. Chem. 1956. Vol. 60, N 10. P. 1417.
13. Перетрухин В.Ф., Кром Н.Н., Гельман А.Д. // Радиохимия. 1970. Т. 12, № 1. С. 96.
14. Перетрухин В.Ф., Кром Н.Н., Гельман А.Д. // Радиохимия. 1970. Т. 12, № 1. С. 101.
15. Скорчелетти В.В. Теоретическая электрохимия. Л. ГНТИХЛ, 1963. С. 286.
16. Шилов В.П. // ЖФХ. 1996. Т. 70, № 10. С. 1915–1917.